

**Exercice 1.**

1. Montrer que  $\Sigma A/(A \times \{1/2\})$  est homotope au wedge  $\Sigma A \vee \Sigma A$ .
2. Rappeler la définition de l'opération de concaténation et de l'opération produit via le pinch pour  $n = 1$ .

$$*, \cdot : \pi_1(X, x_0) \times \pi_1(X, x_0) \rightarrow \pi_1(X, x_0)$$

et montrer que ces deux opérations coincident.

**Solution 1.**

1. On exhibe en fait un homéomorphisme  $\Sigma A/(A \times \{1/2\}) \approx \Sigma A \vee \Sigma A$ . Les points du wedge  $\Sigma A \vee \Sigma A$  sont notés  $(a, t)_i$  avec  $a \in A$ ,  $t \in [0, 1]$  et le sous-exposant indique que le point appartient à la  $i$ -ème copie,  $i = 1, 2$ . On a les identifications  $(a, 1)_1 = (a', 0)_2$ ,  $(a, t)_i = (a', t)_i$  pour  $a, a' \in A$ ,  $t = 0, 1$  et  $i = 1, 2$ .

On définit une application  $f : \Sigma A \rightarrow \Sigma A \vee \Sigma A$  par

$$f(a, t) = \begin{cases} (a, 2t)_1 & \text{si } 0 \leq t \leq \frac{1}{2} \\ (a, 2t - 1)_2 & \text{si } \frac{1}{2} \leq t \leq 1 \end{cases}$$

On vérifie que  $f$  passe au quotient car  $f((a, \frac{1}{2})) = f((a', \frac{1}{2}))$  pour tous  $a, a' \in A$ . Elle induit donc une application  $\varphi : \Sigma A/(A \times \{1/2\}) \rightarrow \Sigma A \vee \Sigma A$ . De plus,  $\varphi$  est bijective car  $(a, t)_1 \mapsto (a, \frac{t}{2})$ ,  $(a, t)_2 \mapsto (a, \frac{1+t}{2})$  en fournit un inverse. Finalement  $\varphi$  fournit un homéomorphisme  $\Sigma A/(A \times \{1/2\}) \approx \Sigma A \vee \Sigma A$ .

2. Soient  $\gamma, \gamma'$  deux lacets basés en  $x_0$ . Montrons que  $\gamma * \gamma' = \gamma \cdot \gamma'$ .

Ici, on utilise l'identification  $S^1 = I / \sim$  et pour simplifier la notation, on écrit encore  $t$  pour l'image de  $t$  dans  $S^1$ .

Ainsi, en utilisant le point 1, si  $0 \leq t \leq \frac{1}{2}$ ,  $p(t) = (2t)_1$ , le point est dans la première copie de  $S^1 \vee S^1$ , et on applique  $\gamma$  à  $p(t)$ . Ainsi,  $\gamma \cdot \gamma'(t) = \nabla((\gamma(2t))_1) = \gamma(2t) = \gamma * \gamma'(t)$ .

De même, si  $\frac{1}{2} \leq t \leq 1$ ,  $p(t) = (2t - 1)_2$ , le point est dans la deuxième copie de  $S^1 \vee S^1$  et on applique  $\gamma'$  à  $p(t)$ . Ainsi,  $\gamma' \cdot \gamma(t) = \nabla((\gamma'(2t - 1))_2) = \gamma'(2t - 1) = \gamma * \gamma'(t)$ .

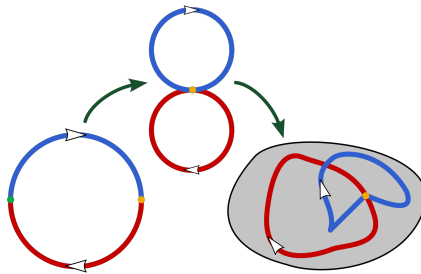


Illustration : Page Wikipedia sur le Groupe fondamental

**Exercice 2.**

Démontrer l'associativité de l'opération produit  $\cdot$  pour  $n = 1$ .

Indication : on dit qu'un diagramme

$$\begin{array}{ccc} A & \xrightarrow{g} & B \\ \downarrow i & & \downarrow f \\ C & \xrightarrow{h} & D \end{array}$$

commute à homotopie près si  $f \circ g \simeq h \circ i$ . On pourra utiliser le diagramme vu en cours et montrer qu'il commute à homotopie près.

**Solution 2.** Etant donné  $\alpha, \beta, \gamma$ , on a  $(\alpha \cdot \beta) \cdot \gamma \simeq \alpha \cdot (\beta \cdot \gamma)$  si le diagramme

$$\begin{array}{ccc} S^1 & \xrightarrow{p} & S^1 \vee S^1 \\ \downarrow p & & \downarrow id \vee p \\ S^1 \vee S^1 & \xrightarrow{p \vee id} & S^1 \vee S^1 \vee S^1 \end{array}$$

commute à homotopie près. On a :

$$(id \vee p) \circ p(t) = \begin{cases} (2t)_1 & \text{si } 0 \leq t \leq \frac{1}{2} \\ (4t - 2)_2 & \text{si } \frac{1}{2} \leq t \leq \frac{3}{4} \\ (4t - 3)_3 & \text{si } \frac{3}{4} \leq t \leq 1 \end{cases}$$

où l'on écrit encore  $t$  pour l'image de  $t$  dans  $S^1$ , et on utilise le sous-exposant  $i \in \{1, 2, 3\}$  pour indiquer que l'élément appartient à la  $i$ -ème copie de  $S^1$  dans le wedge. De même, on calcule :

$$(p \vee id) \circ p(t) = \begin{cases} (4t)_1 & \text{si } 0 \leq t \leq \frac{1}{4} \\ (4t - 1)_2 & \text{si } \frac{1}{4} \leq t \leq \frac{1}{2} \\ (2t - 1)_3 & \text{si } \frac{1}{2} \leq t \leq 1 \end{cases}$$

On construit finalement une homotopie  $H : S^1 \times I \rightarrow S^1 \vee S^1 \vee S^1$  de  $(p \vee id) \circ p$  vers  $(id \vee p) \circ p$ .

$$H(t, s) = \begin{cases} \left(\frac{4t}{1+s}\right)_1 & \text{si } 0 \leq t \leq \frac{1+s}{4} \\ (4t - 1 - s)_2 & \text{si } \frac{1+s}{4} \leq t \leq \frac{2+s}{4} \\ \left(\frac{4t-2-s}{2-s}\right)_3 & \text{si } \frac{2+s}{4} \leq t \leq 1 \end{cases}$$

Il faut vérifier que cette homotopie est bien définie (c'est à dire que l'image de  $(\frac{1+s}{4}, s)$  par exemple est unique) et continue.

### Exercice 3. Le tore à deux trous

En topologie, une surface est un espace topologique séparé dont chaque point admet un voisinage homéomorphe au disque ouvert  $D^2 \setminus \partial D^2$ . Etant donné deux surfaces on définit leur somme connexe à homéomorphisme près, comme la surface obtenue en retirant un ouvert homéomorphe à un disque à chacune des surfaces, et en identifiant les bords. On note  $S_1 \# S_2$ . On appelle tore à  $g$  trous (ou tore de genre  $g$ ), la somme connexe  $T \# \dots \# T$  de  $g$  tores  $T = S^1 \times S^1$ .

1. Donner une description du tore à deux trous comme quotient d'un octogone, à la manière dont le tore est obtenu comme quotient du carré.
2. Identifier une structure cellulaire de ce tore à deux trous. On demande en particulier de calculer le nombre de 0-cellules, de 1-cellules et de 2-cellules, puis de décrire les applications d'attachement.
3. (optionnel) Généraliser au tore à 3 puis à  $g$  trous.

**Solution 3.**

1. On étiquette les différentes arêtes du bord de l'octogone  $O$  comme suit :  $aba^{-1}b^{-1}cdc^{-1}d^{-1}$ . Son quotient  $O/\sim$  par la relation d'équivalence engendrée par les identifications des arêtes  $a, b, c, d$  est homéomorphe à  $T \# T$ , le tore à 2 trous. Pour s'en convaincre, on peut visionner les animations suivantes : [https://youtu.be/1XM1CatvwqY\\$](https://youtu.be/1XM1CatvwqY$) et <https://youtu.be/I83K-on4X5A>, venant du site <https://analysis-situs.math.cnrs.fr/>.
2. Le bord  $\partial O$  du polygone  $P$  est tel que son image dans le quotient  $O/\sim$  est un bouquet de 4 cercles, donc 4 cellules de dimension 1 et une cellule de dimension 0. Le tore à 2 trous est obtenu à partir de ce bouquet en recollant une 2-cellule :  $T \# T \cong \bigvee_1^4 S^1 \cup_f e^2$ . L'application d'attachement  $f : S^1 \rightarrow \bigvee_1^4 S^1 \subset O/\sim$  est donnée par la composée

$$S^1 \xrightarrow{\approx} \partial O \xrightarrow{\subset} O \xrightarrow{q} \bigvee_1^4 S^1 \subset O/\sim$$

3. On considère un polygone  $P$  régulier à  $4g$  côtés dans le plan  $\mathbb{R}^2$  dont on étiquète les différentes arêtes du bord comme suit  $a_1 b_1 a_1^{-1} b_1^{-1} \dots a_g b_g a_g^{-1} b_g^{-1}$ . Son quotient  $P/\sim$  par la relation d'équivalence engendrée par les identifications des arêtes  $a_1, b_1, \dots, a_g, b_g$  est homéomorphe à  $T \# \dots \# T$ , le tore à  $g$  trous. Voici une dernière animation pour la route, avec le tore à trois trous : <https://youtu.be/hSuUDPhJg6c>.

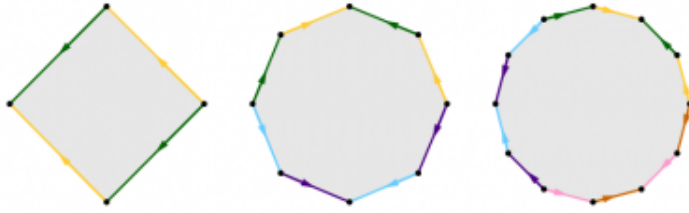


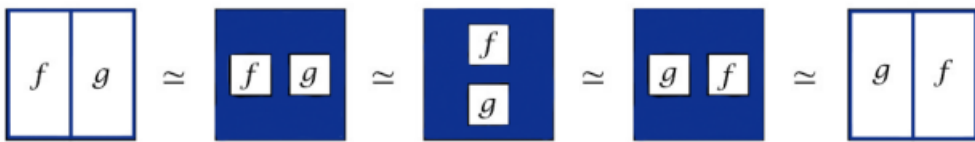
Illustration des identifications pour le tore, le tore à deux trous et le tore à trois trous. Tirée de <https://analysis-situs.math.cnrs.fr/-Introduction-a-1-Analysis-situs-par-les-surfaces-.html>

#### Exercice 4.

- Montrer que le produit des groupes d'homotopie est commutatif pour  $n = 2$ . On pourra utiliser une représentation graphique d'une homotopie entre  $f \cdot g$  et  $g \cdot f$ , en présentant  $S^2$  comme quotient d'un carré par son bord.
- Montrer que le produit des groupes d'homotopie est commutatif pour  $n \geq 2$ .

#### Solution 4.

- La meilleure preuve est par l'illustration suivante (tirée du livre de Hatcher, p.340) :



On part de  $f \cdot g$ . Puisque  $f$  et  $g$  envoient le bord du disque/rectangle sur le point base, on peut construire une homotopie vers une fonction où le bord est épaisse, envoyant toute la partie bleue vers le point de base  $x_0$ . On peut alors construire une homotopie qui fait tourner les domaines de  $f$  et  $g$  l'un autour de l'autre de manière à ce qu'ils ne s'intersectent pas. En agrandissant les domaines à nouveau on obtient  $g \cdot f$ .

- Plus formellement, si  $f$  et  $g$  sont deux applications dans  $\pi_n(X, x_0)$ , on considère  $j_g : I_n \rightarrow I_n$  (resp.  $j_d : I_n \rightarrow I_n$ ) données par

$$j_g(s_1, \dots, s_n) = \left( \frac{1}{2}s_1, s_2, \dots, s_n \right)$$

(resp.

$$j_d(s_1, \dots, s_n) = \left( \frac{1}{2}(s_1 + 1), s_2, \dots, s_n \right).$$

On peut trouver deux homotopies  $h_t : I_n \rightarrow I_n$  et  $\tilde{h}_t : I_n \rightarrow I_n$ ,  $t \in [0, 1]$ , de sorte que  $h_0 = \tilde{h}_1 = j_g$ ,  $h_1 = \tilde{h}_0 = j_d$  et pour tout  $t \in [0, 1]$ ,  $h_t$  et  $\tilde{h}_t$  sont des plongements pour lesquels  $h_t(I_n)$  et  $\tilde{h}_t(I_n)$  ne s'intersectent que en des points de leurs frontières.

Alors on peut définir pour tout  $t \in [0, 1]$  l'application  $k_t : I_n \rightarrow I_n$  par

$$k_t(x) = f(h_t^{-1}(x)) \text{ si } x \in h_t(I_n), \quad k_t(x) = g(\tilde{h}_t^{-1}(x)) \text{ si } x \in \tilde{h}_t(I_n), \quad \text{et } k_t(x) = x_0 \text{ dans tous les autres cas.}$$

et  $k(x, t) = k_t(x)$  définit une homotopie entre  $f \cdot g$  et  $g \cdot f$ .

Notez qu'il existe un autre argument équivalent, très intéressant car complètement algébrique, pour démontrer ce fait, qui consiste à utiliser le théorème de Eckmann-Hilton.

Voir par exemple : <https://idrissi.eu/post/eckmann-hilton>.

#### Exercice 5\*. Le groupe fondamental de la sphère. Montrons que $\pi_1 S^2 = 1$ .

- Montrer que tout lacet dans  $(\mathbb{R}^2, (a; b))$  est homotope au lacet constant au point de base  $(a; b)$ .

2. Montrer que deux chemins qui ont les mêmes extrémités dans  $\mathbb{R}^2$  sont homotopes via une homotopie qui fixe les points de départ et d'arrivée.
3. Si  $f: S^1 \rightarrow S^2$  est un lacet non surjectif, montrer que  $f$  est homotope au lacet constant.
4. Si  $f$  est un lacet surjectif (c'est possible : voir "courbe remplissante" sur Wikipedia), choisir un recouvrement de  $S^2$  par deux ouverts et montrer que  $f$  est homotope à une concaténation finie de chemins se trouvant soit dans l'un des ouverts soit dans l'autre. Conclure qu'aussi ici  $f$  est homotope au lacet constant.

**Solution 5\*.**

1. En effet  $\mathbb{R}^2$  est homotope au point, donc en particulier  $\pi_1(\mathbb{R}^2, (a; b)) = 1$  par invariance.
2. Soit  $\gamma, \gamma'$  deux chemins dans  $\mathbb{R}^2$  d'extrémités  $x$  et  $y$ . Alors  $H(t, s) = s\gamma(t) + (1 - s)\gamma'(t)$  est une homotopie  $\gamma \simeq \gamma'$  qui fixe les deux extrémités.
3. Soit  $x \in S^2$  un point qui n'est pas atteint par  $f$ . Alors  $f$  factorise par l'inclusion  $S^2 \setminus \{x\} \subseteq S^2$ . Or, par projection stéréographique,  $S^2 \setminus \{x\} \approx \mathbb{R}^2 \simeq *$  est contractile. On en déduit que  $f$  est homotope au lacet constant.
4. Comme  $f$  est continue, on peut trouver un  $n \geq 0$  tel que  $|f(x) - f(y)| < 2$  pour tous  $x, y \in S^2$  tels que  $|x - y| \leq \frac{1}{n}$ . Pour  $0 \leq k < n$  notons  $f_k$  la restriction de  $f$  à l'intervalle  $[\frac{k}{n}, \frac{k+1}{n}]$  et  $x_k = f(\frac{k}{n})$ . Alors  $f$  est la concaténation  $f_0 \star \dots \star f_{n-1}$ . Chaque  $f_k$  est à valeurs dans  $\{x \in S^2 \mid |x - x_k| < 2\} \approx S^2 \setminus \{-x\} \approx \mathbb{R}^2 \simeq *$ . Par la question 2,  $f_k$  est homotope au segment  $\gamma_k : t \mapsto tx_k + (1 - t)x_{k+1}$ . Ainsi  $f$  est homotope à  $\gamma = \gamma_0 \star \dots \star \gamma_{n-1}$ . Or  $\gamma$  est une concaténation finie de segments donc n'est pas surjective. Par la question précédente, on conclut que  $f$  est homotope au lacet constant.